

金屬切削与刀具 課程的實驗指導

C. B. 叶哥洛夫 著
A. Г. 契尔凡科夫



机械工业出版社

金屬切削与刀具 課程的实验指导

C.B.葉哥洛夫著
A.F.契爾凡科夫
新 柏 譯



机械工业出版社

出版者的話

本書可作為機械製造專業學校的學生在學習刀具和金屬切削課程時的參考書，也可供工廠中願意學習這方面知識的工人學習之用。

本書中講解了關於刀具材料、刀具的幾何形狀和構造等基本知識，敘述了刀具各主要參數的測定法。

本書着重於用實驗方法研究金屬切削過程方面的問題。

苏联 С.В. Егоров и А.Г. Червяков著：“РУКОВОДСТВО К ЛАВОРАТОРНЫМ РАБОТАМ ПО КУРСУ “РЕЗАНИЕ МЕТАЛЛОВ И РЕЖУЩИЙ ИНСТРУМЕНТ”” (Оборонгиз—1957年出版)

№ 1936

1958年8月第一版 1958年8月第一次印刷

850×1168 1/32 字數72千字 印張215/16 0,001—5,100 冊

机械工业出版社（北京东交民巷27号）出版

机械工业出版社印刷厂印刷 新华书店发行

北京市書刊出版業營業許可証出字第008號 定價(10) 0.55元

目 录

原 序 4

第一部分 金屬切削工具

I . 刀具材料	5
II . 切刀	7
III . 麻花鉆	20
IV . 銑刀	32
V . 齒輪 滾刀和插齒刀	41

第二部分 金屬切削

VI . 切削層變形的研究	52
VII . 車削金屬時各切削因素對各切削分力的影響	58
VIII . 金屬的物理機械性質對切削力 P_z 及切屑收縮 系数 C_1 的影響	65
IX . 各切削因素對切削過程溫度的影響	68
X . 車削時切削速度與切刀耐用度的關係	74
XI . 鉆孔時鉆頭直徑和走刀量對軸向力和扭矩的影響	80
XII . 各切削因素對已加工表面的光潔度的影響	87

原序

这本“金属切削与刀具”课程的实验指导可供莫斯科航空学院所有专业的学生作参考之用，并可帮助学生掌握和熟悉在实验室室内作实验的方法和内容。

本书讲解了关于以下各方面的基本概念：刀具材料、刀具的几何形状和构造、这些刀具的主要参数的测量方法，以及在研究金属切削过程的基本规律性时进行实验的方法。

本书的第一部分“金属切削工具”，为技术科学硕士、副教授契尔凡科夫（А.Г.Червяков）所写；第二部分“金属切削”，为技术科学硕士、副教授叶哥洛夫（С.В.Егоров）所写；第XII章“各切削因素对已加工表面的光洁度的影响”，为技术科学硕士马尔科夫（А.И.Марков）所写。

第一部分

金屬切削工具

I. 刀具材料

現時刀具的切削部分用下列几种材料制造：

- 1) 工具鋼（碳素鋼、合金鋼、高速鋼）；
- 2) 金屬陶瓷硬質合金（單碳化物的及雙碳化物的）；
- 3) 矿物陶瓷合金；
- 4) 磨料。

表 1 和 2 所列，為除磨料以外的所有各類刀具材料。

刀具材料的性能，根據硬度、耐磨性、耐熱性和強度來鑑定。

工具鋼的硬度，是在受有 150 公斤載荷的金鋼石沖錐的作用下，依照洛氏度標 C 來確定的，而硬質合金的硬度，則是在受有 60 公斤載荷時依照度標 A 來確定的。

各種刀具材料可經受下列溫度 (°C) 而不喪失其機械性能：

碳素工具鋼.....	$\theta = 250^\circ$
合金工具鋼.....	$\theta = 350 \sim 400^\circ$
高速工具鋼.....	$\theta = 550 \sim 600^\circ$
硬質合金（金屬陶瓷的）	$\theta = 800 \sim 1000^\circ$
矿物陶瓷合金.....	$\theta = 1100 \sim 1200^\circ$

工具鋼在淬火和回火後，硬度達到 $R_C = 60 \sim 65$ 。

金屬陶瓷合金在熔結後，硬度達到 $R_A = 87 \sim 92$ ；矿物陶瓷合金的硬度為 $R_A = 88 \sim 92$ 。

刀具材料的牌號只有通過複雜的化學分析才能確定。

工 具 鋼

表 1

类 别	牌 号	化 学 成 分 %										硬 度
		V	Mn	Si	Cr	W	Ni	Mo	S	P	Co	
碳素工具钢	Y10A	0.95—1.09	0.15—0.25	0.3	0.2	—	0.25	—	0.02	—	0.03	— 60—62
	Y12A	1.10—1.25	0.15—0.25	0.3	0.2	—	0.25	—	0.02	—	0.03	— 62—64
合金工具钢	XBT	0.9—1.10	0.8—1.1	0.15—0.35	0.9—1.2	1.2—1.6	—	—	—	—	—	— 32—65
	XT	1.3—1.5	0.45—0.47	0.35	1.3—1.6	—	—	—	—	—	—	— 32—64
高速钢	9XC	0.85—0.95	0.3—0.6	1.2—1.6	0.95—1.25	—	0.3	—	—	—	—	— 32—65
	P18	0.7—0.8	0.4	0.4	3.8—4.4	17.5—19.0	0.4	0.3	0.03	1.0—1.4	0.03	— 62—65
	P9	0.85—0.95	0.4	0.4	3.8—4.4	8.5—10.0	0.4	0.3	0.03	2.0—2.6	0.04	0.03 62—64

表 2

硬質合金

类 别	牌 号	化 学 成 分 %			机 械 性 能	
		WC	TiC	Co	硬度RA	极限抗弯强度公斤/公厘 ²
金屬陶瓷 硬質合金	单碳化 物 的	BK2	93	—	2	90.0
		BK3	97	—	3	89.0
		BK6	94	—	6	88.0
		BK8	92	—	8	87.5
	双碳化 物 的	T5K10	85	5	10	88.5
		T14K8	78	14	8	89.5
		T15K6	79	15	6	89.5
		T30K4	66	30	4	92.0
		T60K6	34	60	6	90.0
矿物陶瓷合金	TB18	Al ₂ O ₃		88—91	—	
	LHM332	Al ₂ O ₃		90—92	—	

II. 切 刀

1. 切刀各元素和几何形状的基本概念

切刀由两个基本部分組成：刀头 A 及刀体或刀杆 B(图 1)。刀头是切刀的工作部分；刀体或刀杆用作将切刀固紧在刀架里。

刀头分下列各元素(图 1,a 和 b)：前面 1，切下的切屑沿此面排出；后面(主后面 2 和副后面 3)，它对着待加工零件；切削刃，它由前面和后面的交綫形成。

切削刃分为：

- 1) 主切削刃，它担负主要的切削工作；
- 2) 副切削刃(一个或两个)。

此外，切刀还可以有过渡切削刃(见图 1,b)。

根据切刀的切削刃，我們把后面分为：主后面 2，它与主切削刃连接；副后面 3 和过渡后面 4，它们分别与副切削刃和过渡切

削刃连接。

刀尖(见图1)是主切削刃与副切削刃相交的地方。刀尖(从平面上看)可以是尖角的、圆角的或倒棱形式的。

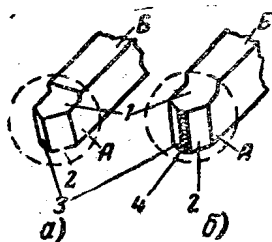


图 1 切刀的各元素

切刀切削部分的形状取决于其前面、主后面、副后面和各切削刃的外形及位置。上述各表面和切削刃在空间的相互位置借许多角度来确定，这些角度叫做切刀角度。

2. 决定切刀角度用的各表面和坐标平面

根据 OCT 6897—6898 的规定，用切刀切除切屑时，在待加工毛坯上分下列各表面(图2)：

待加工面——要从其上切除切屑的毛坯表面；

已加工面——已切除切屑后所得的毛坯表面；

切削表面——待加工毛坯上直接被切刀切削刃所形成的表面。

为了确定切刀的角度，取用下列各坐标平面：1) 切削平面；2) 基面；3) 主截面；4) 副截面。

与切削表面相切并通过切刀主切削刃的平面叫做切削面(图2)。

平行于纵向及横向走刀的平面叫做基面。棱形刀体的车刀，可取下支承面作为它的基面(图2和3)。

垂直于主切削刃在基面上的投影的平面 NN 叫做主截面(图3)。

垂直于副切削刃在基面上的投影的平面 N_1N_1 叫做副截面。

切刀的角度都具有两重性：作为几何体研究的切刀角度(这

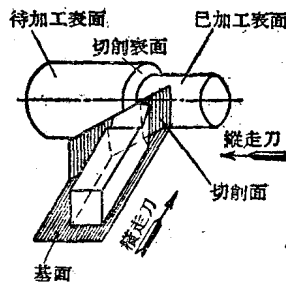


图 2 车刀工作时的各表面和坐标平面

些角度叫做切刀的靜止角度) 和在切削過程中所取得的角度(工作角度)。

下面我們研究的是切刀在靜止狀態下的角度。

任何切刀均應分主要角度和輔助角度。

主要角度在主截面 NN (圖 3) 內度量。屬於主要角度的有：後角、楔角、前角和切削角。

主後面與切削面間的夾角叫做主後角 α 。

切刀前面與主後面間的夾角叫做楔角 β 。

切刀前面與通過主切削刃且垂直於切削面的平面間的夾角叫做前角 γ 。

前面與切削面間的夾角叫做切削角 δ 。

從圖 3 可以看出，當 γ 為正值時，這些角度之間具有下列關係：

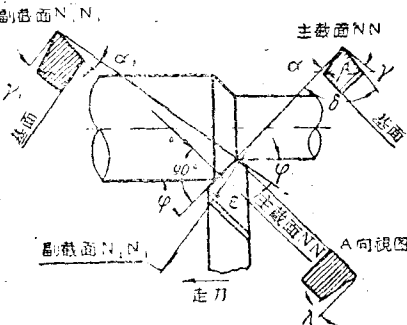


圖 3 切刀在非工作狀態下的角度

$$\alpha + \beta + \gamma = 90^\circ, \quad (1)$$

$$\delta + \gamma = 90^\circ, \quad (2)$$

$$\delta = 90^\circ - \gamma, \quad (3)$$

$$\alpha + \beta = \delta. \quad (4)$$

輔助角度 在垂直於副切削刃在基面上的投影的副截面 N_1N_1 (圖 3) 內度量。

副後面與經過副切削刃並垂直於基面的平面間的夾角叫做副後角 α_1 。

副前角 γ_1 也在副截面內度量。

在切刀上還應分偏角和主切削刃斜角 (見圖 3)。

偏角在基面內度量。

主切削刃在基面上的投影与走刀方向間的夹角叫做主偏角 φ 。

副切削刃在基面上的投影与走刀方向間的夹角叫做副偏角 φ_1 。

主、副切削刃在基面上的投影間的夹角叫做刀尖角 ϵ 。从图3可以看出，偏角与刀尖角的总和等于 180° ，即

$$\varphi + \varphi_1 + \epsilon = 180^\circ. \quad (5)$$

主切削刃斜角 λ ，为切削刃与經過刀尖并平行于基面的平面間所夹的角（图3和4）。这角度在切削面內度量。

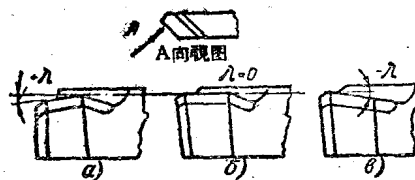


图 4 切刀的主切削刃斜角

当刀尖是切削刃上最低的一点时，主切削刃斜角便算作正的（图4,a）；当刀尖是切削刃上最高的一点时，便算作負的（图4,c）；当主切削刃平行于基面时，

則 λ 角等于零（图4,b）。

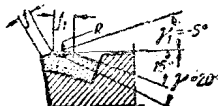
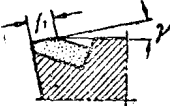
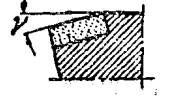
3. 切刀前面的形状

切刀的前面接表3所列的五种型式之一制成。

表3

前 面 的 形 状

前 面 的 形 状		应 用 范 围
I. 平面形 带正前角的		加工灰鑄鐵用的切刀
II. 平面形 带 1 公厘以下的 負倒棱的		加工銅料和鑄鐵用的所有各类切 刀。加工銅料时用捲屑器

前 面 的 形 状态	应 用 范 围
IIa. 圆弧形带负倒棱的	 <p>除切削刃外形复杂的成形刀以外 在须要切屑捲曲和走刀量 $S > 0.25$ 公厘/轉的情况下加工鋼料用的所有各類切刀。当走刀量 $S = 0.25 - 0.8$ 公厘/轉时, $R = 5 - 6$ 公厘; 当走刀量 $S = 0.8 - 1.5$ 公厘/轉时, $R = 10 - 12$ 公厘</p>
III. 平面形带3公厘以上的负倒棱的	 <p>加工强度极限 $\sigma_b > 80$ 公斤/公厘² 的鋼料用的切刀</p>
IIIa. 平面形带负前角的	 <p>加工硬度 $H_B > 300$ 公斤/公厘² 的鑄鐵和 $\sigma_b > 80$ 公斤/公厘² 的鋼料用的切刀。对有冲击和外皮余量不均匀的鑄鐵的加工</p>

4. 切刀几何形状的測量

切刀刀体的截面 $B \times H$ 公厘² 用卡尺或量尺测量(图5), 而切刀的几何参数则用万能量角器或台式量角器测量。

主偏角 φ 和副偏角 φ_1 用万能量角器测量。

图6所示, 为用万能量角器

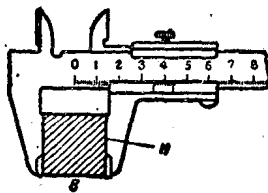


图 5 用卡尺测量切刀截面

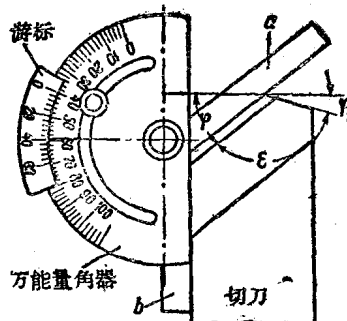


图 6 用万能量角器测量主偏角

(量角器的精度为 2') 测量 φ 角的实例。

在测量主偏角 φ 时, 将量角器的平板 a 靠紧在主切削刃上,

而将平板 b 靠紧在切刀的侧边上。这时量角器分度盘上的读数就是 φ 角的值。副偏角 φ_1 也用相同的方法测量。

刀尖角可按下式求得：

$$\varepsilon = 180 - (\varphi + \varphi_1)。 \quad (6)$$

主要角度和辅助角度以及主切削刃斜角用台式量角器测量。

图 7 所示，为测量主后角 α 的实例；图 8 为测量主前角 γ 的实例。

在测量主后角 α 时，测角板支臂 a 与切刀后面贴合（图 7）；在测量主前角 γ 时，测角板支臂 b 与切刀前面贴合。量角器分度盘 c 上的读数就是 α 和 γ 角的值。

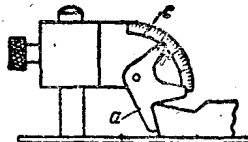


图 7 用台式量角器测量主后角



图 8 用台式量角器测量主前角

主切削刃斜角 λ 的测量，示于图 9。在测量 λ 角时，测角板支臂 b 与切刀切削刃贴合。

测得上述各角度后，其余各角的值可按下列公式计算：

$$\delta = 90^\circ - \gamma,$$

$$\beta = 90^\circ - (\alpha + \gamma)。$$

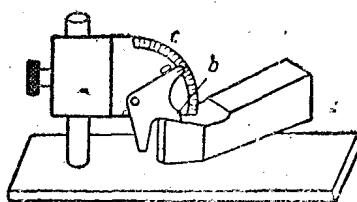


图 9 用台式量角器测量主切削刃斜角

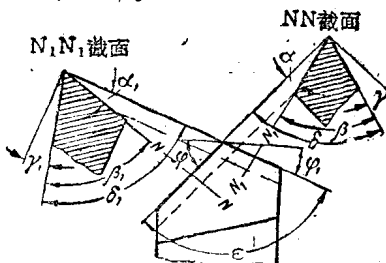


图 10 标明了角度的切刀简图

根据测量切刀角度所得到的数据，可以繪出标明了所有切力角度的切刀簡图，（图 10）。

5. 切刀的刃磨

鑲有硬質合金的切刀，在工具磨床上用綠色碳化硅砂輪分两道工序刃磨：

1) 用粗粒砂輪（粒度 24~36）預先粗磨；

2) 用細粒砂輪（粒度 46~60）最后刃磨。

鑲有硬質合金的切刀，除了刃磨以外，要用以碳化硼为主要成分的油膏研磨。在油膏的成分中加入石蜡和机油作为粘合剂。

高速鋼制的切刀，用电爐氧化鋁砂輪刃磨。

6. 切刀的种类

下面研究在高速切削的实践中应用最广的几种切刀的特性并加以說明。

克別克 (КБЕК①) 切刀用于高速切削加工高合金鋼和淬硬鋼。这种切刀(图 11,a) 鑲有 T 15 K6 硬質合金刀片，其特点是偏角小 ($\varphi = 10 \sim 20^\circ$, $\varphi_1 = 10^\circ$), 且沒有刀尖圓角半徑 ($r = 0$)。

应用偏角小的切刀，可使硬質合金刀片強固、切削刃的散热改善，并使切刀耐用度提高。

由于这些特点，克別克切刀在加工高强度及难于加工的金属时，例如加工淬火到硬度很高的 30 XPCA 号 鋼 ($\sigma_b = 160$ 公斤/公厘²) 时，其容許的切削速度，比其他高速切刀大 1 ~ 3 倍。

用克別克切刀工作时，徑向力 P_y 大为增高，因而可能引起工件振动和弯曲。所以克別克切刀只有在机床——工件——切刀系統的剛性良好时，才能成功地用作半精加工和精加工。

在具有小偏角时，便不可能以大的切削深度来工作。为了消

① КБЕК 是切刀各創造者的姓：Кривоухов, Бруштейн, Егоров, Козлов 的起始字母。

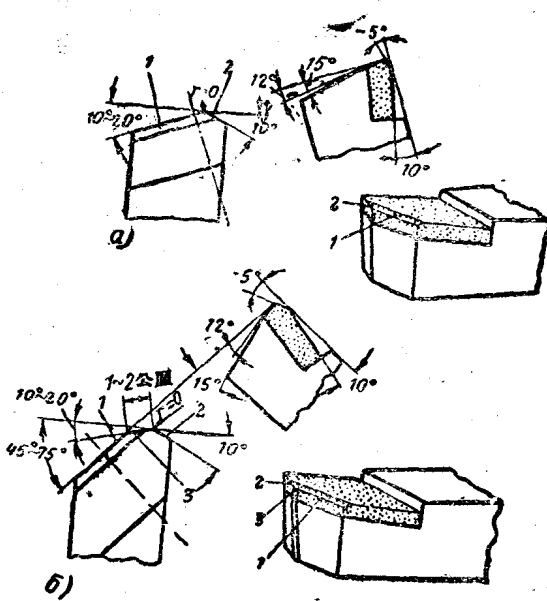


图 11 克別克切刀

a—有主切削刃 1 和副切削刃 2 的切刀;
b—有主切削刃 1 副切削刃 2 和过渡切削刃 3 的切刀

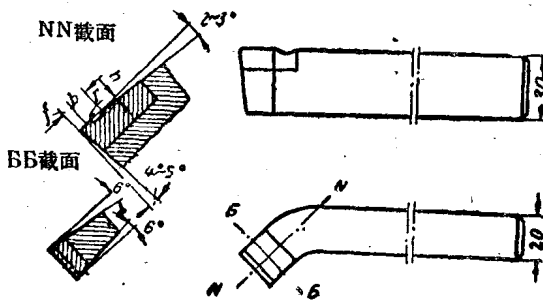


图 12 貝科夫切刀

除这个缺点。克別克切刀的构造，建議带有主切削刃 1、副切削刃 2 及寬度为 1~2 公厘的过渡切削刃 3 (图 11,b)。

貝科夫 (П.Б. БЕКОВ) 切刀 (图12)，用来高速切削加工中等强

度的結構鋼。切刀適用的 $\alpha_1 = 6^\circ$; $\lambda = 0^\circ$; $\varphi = 45^\circ$ 。

切刀前面具有倒棱 f 及卷屑用的断屑坑，其尺寸列于表 4。

表 4

貝科夫切刀的倒棱及断屑坑的尺寸

待加工材料	f 公厘	h 公厘	b 公厘
10号和15号鋼	0.2~0.3	1.5	4.0
35号和20X号鋼	0.3~0.5	1.0	3.5
45号和40X号鋼	1.0~1.5	0.5	2.5

科列索夫 (В. А. Колесов) 切刀，用作高生产率的縱車削和車端面，它保証已加工表面的光洁度有 5 ~ 6 級（按 ГОСТ 2789—51 的 $\nabla\nabla 5 \sim \nabla\nabla 6$ ）。切刀鑲有 T15 K6 硬質合金刀片。

科列索夫外圓車刀（图 13）的特点是具有三个切削刃，其中之一带有偏角 $\varphi = 45^\circ$ ；其二长度为 1 公厘、带有偏角 $\varphi_0 = 20^\circ$ ；其三是偏角 $\varphi_1 = 0^\circ$ 的修光刃。

切刀的角度为： $\gamma = 5^\circ$; $\alpha = 6^\circ$; $\alpha_1 = 3 \sim 5^\circ$; $\varphi = 45^\circ$; $\varphi_0 = 20^\circ$; $\varphi_1 = 0^\circ$; $\lambda = 0 \sim 4^\circ$ 。

修光刃的长度应等于 $(1.1 \sim 1.2)s$ ，其中 s 是主軸每轉的走刀量（公厘）。

科列索夫端面切刀（图14），也与外圓車刀一样，具有寬度 $b = 1.1s$ 、偏角 $\varphi_1 = 0^\circ$ 的修光切削刃；修光刃切去在已加工表面上殘留下来的凸峰。

波爾特客維奇 (Г. С. Борткевич) 切刀（图 15），用來在半精加工及精加工时車削圓柱表面及端面。切刀鑲有 T15 K6 硬質合金刀片。

切刀的角度如下： $\gamma = 8 \sim 10^\circ$; $\alpha = 6 \sim 8^\circ$; $\varphi = 90^\circ$; $\varphi_1 = 8^\circ$; $\lambda = 2^\circ$; $R = 0.5$ 公厘。

在切刀前面上磨有带負前角 $\gamma_1 = -2^\circ$ 的倒棱 $f = (0.8 \sim 1.5)s$ 。

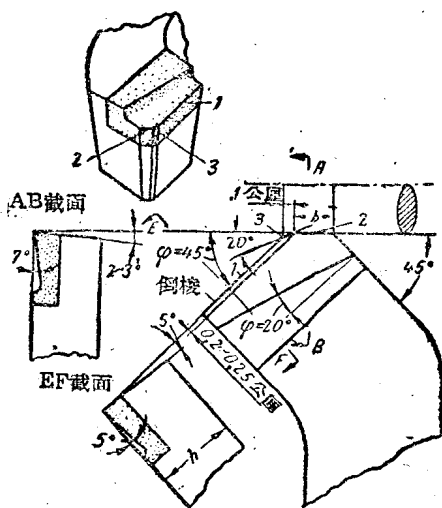


图 13 科列索夫外圆車刀

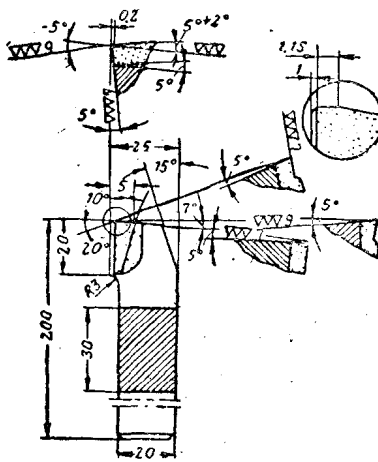


图 14 科列索夫端面切刀